

Метод расчета рассеиваемой энергии при конструкционном гистерезисе

В.В.ОРЛОВ

Метод вычисления величины рассеянной при конструкционном гистерезисе энергии

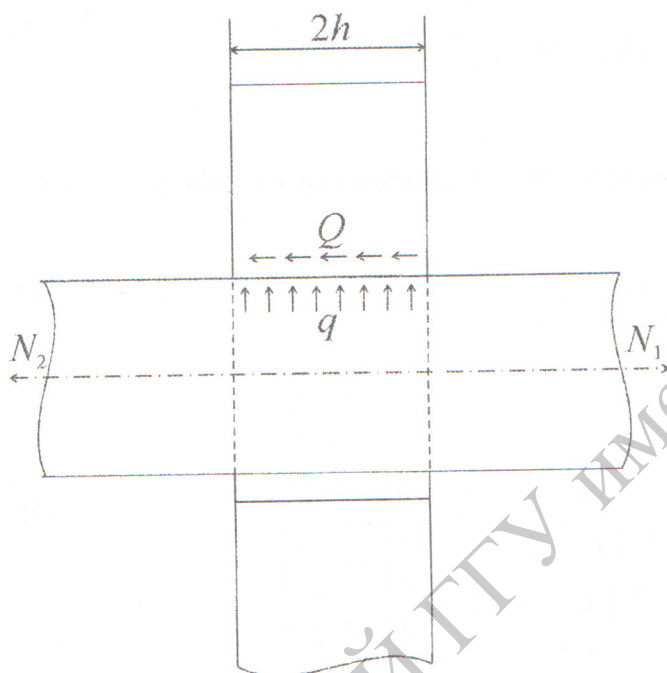


Рис. 1. Зона контакта демпферной проволоки и рабочей лопатки и система действующих сил

ная сдвигающая сила;

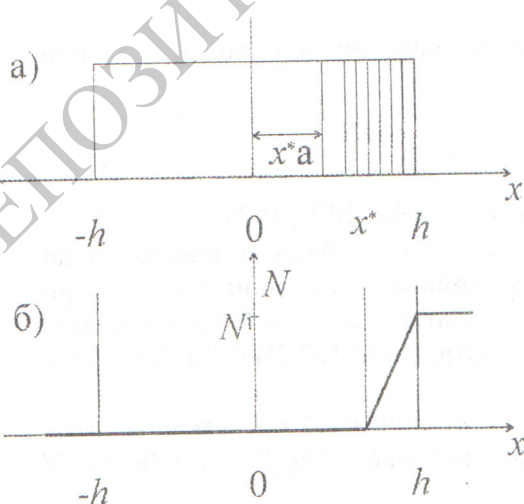


Рис. 2. Зона контакта при неполном проскальзывании (а) и зависимость N от координаты x (б).

рассмотрим на примере задачи контакта демпферной проволоки и лопатки. На рис.1 схематично изображена зона контакта с системой действующих сил. Участок демпферной проволоки прижимается к лопатке центробежной силой, развиваемой участком проволоки при вращении колеса с угловой скоростью ω с интенсивностью q . На проволоку также действует растягивающая нагрузка N_1 , противоположная ей сила N_2 , возникающая вследствие сил трения при проскальзывании проволоки относительно лопатки.

Введем в рассмотрение следующие величины

а) $\tau_{\max} = \chi \cdot q$ – максимальная касательная сила на единицу длины, где χ – коэффициент трения;

б) $Q_{\max} = \chi \int_{-h}^h q(x) dx$ – максимальная

в) $\tau < \chi \cdot q$ – касательная сила на единицу длины.

Первоначально рассмотрим случай, когда усилие N_1 вызывает неполное проскальзывание проволоки и некоторое сечение $x = x_*$ зоны контакта не испытывает нагружения. На рис.2а изображен участок проволоки, соответствующий зоне контакта с лопаткой, а на рис.2б – распределение силы N по длине участка, где $N = N_1 = N_2$.

При этом координата x_* соответствует началу проскальзывания.

В общем случае

$$N = N_1 - N_2 = Q = N_1 - \int_x^h \tau dx, \quad (1)$$

где x – координата, соответствующая началу проскальзывания.

Перемещение сечения проволоки $x = h$:

$$u = \int_{-h}^h \epsilon dx = \int_{-h}^h \frac{N}{f_c E} dx = \frac{1}{E f_c} \int_{-h}^h (N_1 - \int_x^h \tau dx) dx, \quad (2)$$

где f_c – площадь поперечного сечения проволоки.

Для неполной пластичности (неполного проскальзывания) справедливо

$$N_1 = \int_{-h}^{x_*} \tau dx + \int_{x_*}^h \chi q(x) dx = \chi \int_{x_*}^h q(x) dx, \quad (3)$$

так как $\tau \equiv 0$ для $-h < x < x_*$.

Пусть $q(x) \equiv const$, тогда

$$N_1 = \chi q(h - x_*) \quad (4)$$

$$N_{10} = 2\chi q h = 2h\tau_0, \quad (5)$$

где N_{10} – растягивающее усилие, вызывающее полное проскальзывание проволоки.

Соотношение (1) перепишем в следующем виде

$$N = N_1 - N_2 = N_1 - \int_x^h \tau dx = N_1 - \chi q(h - x). \quad (6)$$

Тогда из (2) получаем удлинение Δl проволоки на уровне $x = h$

$$\Delta l = \int_{x_*}^h \epsilon dx = \frac{1}{E f_c} \left[N_1(h - x_*) - \chi q h(h - x_*) + \chi q \frac{h^2 - x_*^2}{2} \right] = \frac{N_1^2}{2\tau_0 f_c E}. \quad (7)$$

Обозначим $\Delta l_0 = \frac{N_{10} h}{f_c E}$ – перемещение проволоки на уровне $x = h$ при предельной растягивающей силе $N_{10} = 2h\tau_0$.

Тогда

$$\bar{\Delta l} = \frac{\Delta l}{\Delta l_0} = \frac{N_1^2}{N_{10}^2} = \bar{N}_1^2. \quad (8)$$

На рис.3 изображены зависимости интенсивности касательной силы $\tau(a)$ и результирующей силы $N(\tau)$ от координаты x ($-h \leq x \leq h$), при разгрузке и обратном нагружении.

В этом случае

$$N_1 = \tau_0(h + x_*) - \tau_0(h - x_*) = 2\tau_0 x_*, \quad (9)$$

$$N(x) = N_1 + \tau_0(h - x) / x_* < x < h /, \quad (10)$$

$$N(x) = N_1 + \tau_0(h - x_*) - \tau_0(x_* - x) = N_1 - 2\tau_0 x_* + \tau_0(h + x) = \tau_0(h + x) \quad / -h < x < x_*, \quad (11)$$

Тогда

$$\Delta l = \Delta l_1 + \Delta l_2, \quad (12)$$

где Δl_1 – смещение точки x_* ,

Δl_2 – приращение на участке $x_* - h$.

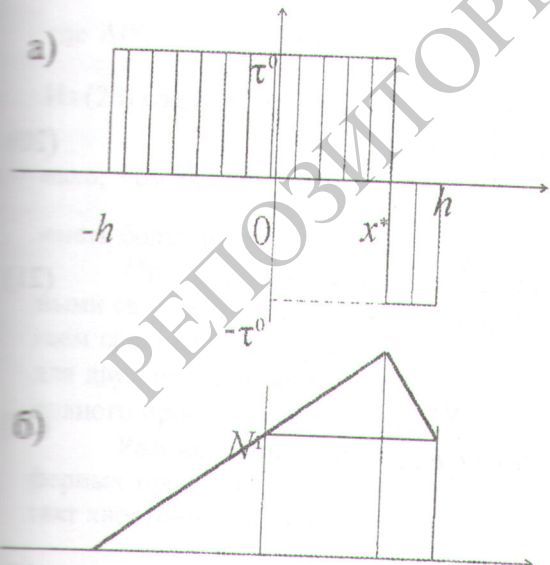


Рис.3. Зависимости $\tau(x)$ и $N(x)$ при обратном нагружении.

$$\Delta l = \Delta l_1 + \Delta l_2 = \frac{1}{E f_c} \left[\tau_0 h (x_* + h) + \tau_0 \frac{x_*^2 + h^2}{2} + (N_1 + \tau_0 h)(h - x_*) - \frac{h^2 - x_*^2}{2} \tau_0 \right] =$$

$$= \frac{1}{4 \tau_0 f_c E} [2 N_{10}^2 - (N_{10} - N_1)^2]$$

$$\bar{\Delta l} = \frac{\Delta l}{\Delta l_0} = 1 - \frac{1}{2} (1 - \bar{N}_1)^2. \quad (14)$$

Удлинение проволоки в сечении на расстоянии l от лопатки:

$$u = \Delta l + \frac{N_1}{E f_c} \cdot l \quad (15)$$

Тогда

$$\bar{u} = \frac{u}{\Delta l_0} = 1 - \frac{1}{2} (1 - \bar{N}_1)^2 + \frac{N_1 l}{E f_c \Delta l_0} = 1 + \frac{l}{h} \bar{N}_1 - \frac{1}{2} (1 - \bar{N}_1)^2 \quad (16)$$

Если известно относительное смещение A проволоки в этом сечении, то при

$$A < \Delta l_0 + \frac{N_1 l}{E f_c} = \Delta l_0 \left(1 + \bar{N}_1 \frac{l}{h} \right) \quad (17)$$

проскальзывание частичное, а при $A > \Delta l_0 \left(1 + \bar{N}_1 \frac{l}{h} \right)$ — полное.

Для разгрузки и повторного погружения можно получить соотношение, аналогичное (16)

$$\bar{u} = \frac{l}{h} \bar{N}_1 + 1 + \frac{1}{2} (1 + \bar{N}_1)^2. \quad (18)$$

Теперь можно вычислить площадь петли конструкционного гистерезиса для случая полного и неполного проскальзывания.

Первоначально рассмотрим случаи неполного проскальзывания. Площадь петли гистерезиса

$$\Delta W = \oint N_1 du = N_{1a} \Delta l_a \oint \bar{N}_1 d\bar{u}, \quad (19)$$

где $N_{1a} = \tau_0 (h - x_{*a})$, $\Delta l_a = \frac{N_{1a}^2}{2 f_c E \tau_0}$.

Площадь петли в безразмерных координатах

$$\bar{\Delta W} = 4 - 2 \int_0^2 \frac{x^2}{2} dx = \frac{4}{3}. \quad (20)$$

Тогда

$$\Delta W = \frac{4}{3} \cdot \frac{N_{1a}^3}{2 f_c E \tau_0} = \frac{2}{3} \cdot \frac{N_{1a}^3}{f_c E \tau_0}. \quad (21)$$

При $\bar{N}_1 = 1$

$$u = \left(1 + \frac{l}{h} \right) \Delta l_0 = \left(1 + \frac{l}{h} \right) \frac{N_{10}^2}{2 f_c E \tau_0}. \quad (22)$$

Из (21), учитывая (22), получим окончательно

$$\Delta W = \frac{4}{3} \left[\frac{2 f_c E \tau_0}{(1 + l/h)^3} \right]^{\frac{1}{2}} u^{\frac{3}{2}}. \quad (23)$$

Перейдем к рассмотрению случая полного проскальзывания. На рис.4 изображены петли конструкционного гистерезиса в безразмерных координатных осях $\bar{u} - \bar{N}_1$.

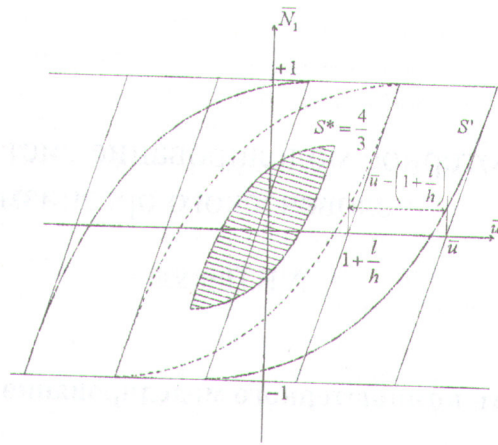


Рис.4. Петли конструкционного гистерезиса для полного и неполного проскальзывания. Заштрихована – петля при неполном проскальзывании; «-----» – предельный цикл полного проскальзывания; «—» – полное проскальзывание.

Площадь петли гистерезиса для полного проскальзывания

$$S = S^* + 2S' = \frac{4}{3} + 2 \left[\bar{u} - \left(1 + \frac{l}{h} \right) \right].$$

Тогда

$$\Delta W = 2\tau_0 h \frac{2\tau_0 h^2}{f_c E} \left[4\bar{u} + \left(\frac{4}{3} - 4 \left(1 + \frac{l}{h} \right) \right) \right] = \frac{N_{10}^2 h}{f_c E} \left[4\bar{u} + \frac{4}{3} - 4 \left(1 + \frac{l}{h} \right) \right] \quad (24)$$

или

$$\Delta W = \frac{N_{10}^2 h}{f_c E} \left[\frac{8uf_c E \tau_0}{N_{10}^2} + \frac{4}{3} - 4 \left(1 + \frac{l}{h} \right) \right] = 4N_{10} u + \frac{N_{10}^2 h}{f_c E} \left[\frac{4}{3} - 4 \left(1 + \frac{l}{h} \right) \right]. \quad (25)$$

При полном проскальзывании рассеяние энергии быстро растет с ростом амплитуды. Например, при $u = 2\Delta l_0 \left(1 + \frac{l}{h} \right)$

$$\Delta W = \frac{N_{10}^2 h}{f_c E} \left[\frac{4}{3} + 4 \left(1 + \frac{l}{h} \right) \right] = \Delta W_{l,l} \left[1 + 3 \left(1 + \frac{l}{h} \right) \right], \quad (26)$$

где $\Delta W_{l,l}$ – уровень рассеяния энергии при предельном цикле.

Из (26) следует, что при $\frac{l}{h} = 1$ демпфирование возрастает в 7 раз, а при $\frac{l}{h} = 2$ – в 10 раз. Однако, чем больше отношение $\frac{l}{h}$, тем менее вероятно проскальзывание, так как требуется иметь большие смещения u .

При решении задач о вынужденных колебаниях систем лопаток с упруго-фрикционными связями в предположении неполного проскальзывания контактных поверхностей полагаем среднее сечение зоны контакта неподвижным и применяем описанную выше методику для двух половин контактной зоны с заменой в полученных формулах $2h$ на h . Для случая полного проскальзывания приведенные выше формулы справедливы без изменений.

Рассмотренный метод расчета рассеиваемой энергии в сочленениях лопаток и демпферных проволок пригоден и для других упруго-фрикционных соединений, таких как контакт хвостовика и диска, сочленения полок интегрального бандажа и других.

Abstract

The author considers a computational method of disseminated energy at a design hysteresis.